

九州大学工学部 学生員○渡辺 翼康
 九州大学工学部 正員 横木 武
 山口大学工学部 正員 田村 洋一

はじめに 著者らは、先に実際の交通流における実際車頭時間分布と実際速度分布を1分間交通量の変動と交通流の変動を考慮しない基本車頭時間分布、基本速度分布にとづいて把握する汎用理論を提案したが、その際必要とする交通流に占める渋滞車割合の算出については十分に検討するにいたっていなかつた。そこで本研究では、実際の交通流に占める渋滞車割合の推定方法について検討するものであり、また、その応用として実際車頭時間分布への適用を試みるものである。

2. 渋滞車割合の定義 従来の研究から、渋滞車と非渋滞車との間で境界速度が存在することが明らかにされている。この境界速度の決定を行うため、著者らが行った観測データ（国道3号線）にもとづいて、1分間交通量Qと平均速度Vとの関係を示せば図-1のとおりである。これから、渋滞部分ではQ-V間に正の相関関係があり、非渋滞部分では負の相関関係が認められるが、この境界となる速度は35km/h近傍であると考えることができる。また、この時の交通量が24台/分であり、1時間に換算すると約1400台/時となり、観測対象道路の交通容量にはほぼ等しいといえる。よって本研究では渋滞車と非渋滞

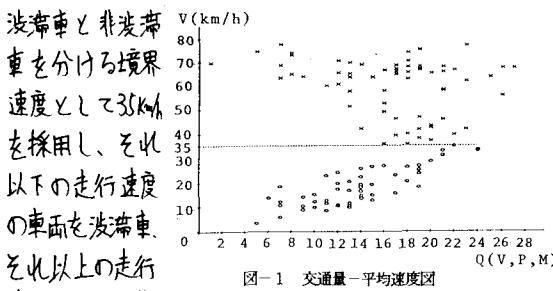


図-1 交通量-平均速度図

車を分ける境界速度として35km/hを採用し、それ以下の走行速度の車両を渋滞車、それ以上の走行速度の車両を非

渋滞車と定義する。また全車中、全く渋滞車が存在しない場合を完全非渋滞流、渋滞車が存在する場合を不完全非渋滞流と称し、全車中に占める渋滞車の割合を渋滞車割合と定義する。

3. 完全非渋滞と不完全非渋滞との判別 同一交通量レベルにおいて、完全非渋滞と不完全非渋滞流の判別および渋滞車割合を求める際、交通量とその変化率に関する統

計量を説

明変数候

X3 重度

X4 尖度

X5 交通量の変化率の重度

補に選べ

表-1 統計量

X1 平均交通量	X6 交通量の変化率の尖度
X2 標準偏差	X7 交通量の変化率の大きさの平均
X3 重度	X8 交通量の変化率の大きさの重度
X4 尖度	X9 交通量の変化率の大きさの尖度
X5 交通量の変化率の重度	

ば、表-1のXへX₁

が考えられる。

表中のXへX₁は、

前1分間交通量

に対する現1分

間交通量の差、

すなわち変

化率に関する諸量であ

る、XへX₁は

変化率の大き

さのみを意

味する諸量

である。

これら統計

量に関して、

関係性を把

握し分類し

標準偏差(1/分)

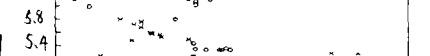


図-2 統計量の相関関係と分類

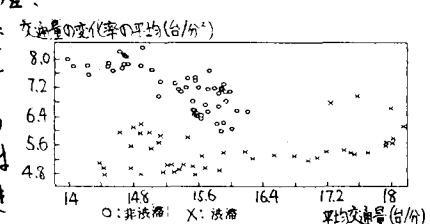


図-3 平均交通量-交通量の差の絶対値の平均図

標準偏差(1/分)

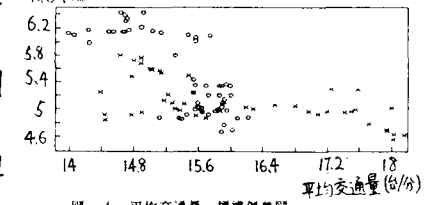


図-4 平均交通量-標準偏差図

た結果を図-2に示す。図より、X₁とX₂で「ケル-1」を形成し、交通量の平均値と分布の対称性が高い相関関係にあることが分かる。またケル-1Bは交通量のばらつき(X₇)と変化率の大きさ(X₉)とで構成されている。一方、(X₆, X₈)は変化率の対称性を意味し正の相関関係にあり、これらと変化率の対称性を意味する(X₆, X₉)が負の相関関係にある。さらに、X₄はいずれの諸量とも相関が低く独立的である。

諸量中、完全非渋滞と不完全非渋滞とで特に値が明確に異なるのはケル-1Bである。これらと交通量の大きさなどが、交通流における渋滞車の有無を説明する変数として抽出できる(図-3, 4)。そこでX₁, X₂, X₃を用いた2次判別関数Qを求めれば、

$$Q = 2.4215X_1^2 - 13.7945X_2^2 + 0.3148X_3^2 - 5.6169X_1X_2 + 7.0432X_1X_3 + 8.3163X_2X_3 - 87.7X_1 + 198.6X_2 - 174.7 + 694.7 \quad (1)$$

上式は交通量の大きさとばらつき、および変化率の大きさにより渋滞車の有無を判別するものであるが、用いたサンプルに関する限りでは適中率100%であった。

4. 渋滞車割合の推定式 交通流中に渋滞が発生している場合に、渋滞車割合を推定するため、前述の表-1に示す統計量について不完全非渋滞に関する諸データを用いて、相互の関係性を把握し分類した結果を図-5に示す。これら諸量中、 (X_1, X_3, X_4) でグループAを形成し、また、 (X_1, X_6) で正の相関関係にあるグループBが形成され、 (X_2, X_6, X_9) で互いに正の相関関係になり、 (X_5, X_8) と負の相関関係にあるグループCが形成される。又いはずれの諸量とも相間が低く独立的である。

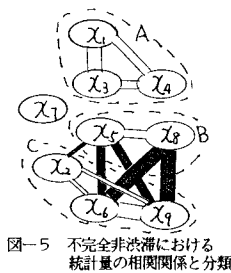


図-5 不完全非渋滞における統計量の相関関係と分類

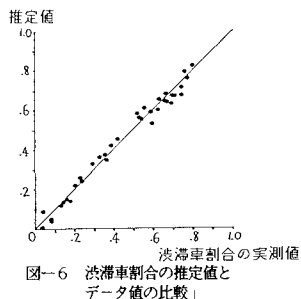


図-6 渋滞車割合の推定値とデータ値の比較

以上から、渋滞車割合 R_c を推定する際、まずはこれを最も相関が高いグループである X_1, X_3, X_4 について説明変数に選ぶことが望まれる。ところで X_3, X_4 は期待値よりの3次、4次の積率であること、また R_c と X_1 がこれら諸量中、最も相関が高いことを考慮し、ここでは X_1 を選ぶことにとする。また渋滞時間においては、道路上は多くの車両で混雑しており、交通量の変化の大きさは渋滞が進展するに従い低下していく。この点を説明するものとして、 X_1 が挙げられ、またグループA以外の諸量中、 R_c と最も相関が高いことから、 X_1 も説明変数となりうるものと考えられる。

以上の考察から、平均交通量 X_1 、交通量の変化率の大きさの平均値を用いた渋滞車割合 R_c の推定式を求めれば次式のとおりである。

$$R_c = -0.16238X_1 - 0.14408X_7 + 3.86426 \quad (2)$$

本モデルの重相関係数は、0.982、RMS誤差0.044であり、渋滞車割合 R_c の推定式として十分な精度を有するといえる。（図-6）

5. 実際車頭時間分布の推定 実際の交通流に関する、実際車頭時間分布の確率密度関数 $H(t)$ は、渋滞流、非渋滞流における車頭時間分布をそれぞれ、

$$H_d(t) = \int_0^{\infty} \phi_{ws}(8) P_{dc}(t) dt,$$

$$H_n(t) = \int_0^{\infty} \phi_{ws}(8) P_{nc}(t) dt.$$

ここに、 $\phi_{ws}(8)$ は、交通量8に属する車両が全交通流中に占める割合、 $P_{dc}(t), P_{nc}(t)$ は渋滞流、非渋滞流の基本車頭時間分布の確率密度関数である。

とすれば、

$$H(t) = (1 - R_c) H_n(t) + R_c H_d(t)$$

上式に、式(2)の R_c と文献2)によると $H_n(t), H_d(t)$ の理論式を代入し、観測値が得られている実際の交通流に関する $H(t)$ を求めてデータと対比させれば、図-7のとおりである。図より、完全非渋滞流、不完全非渋滞流のいずれにおいても理論式が十分適合していることが分かる。

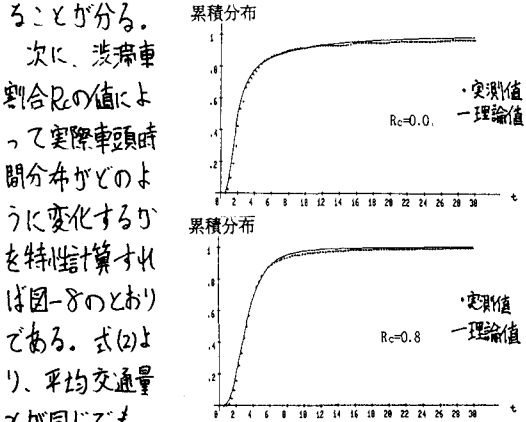
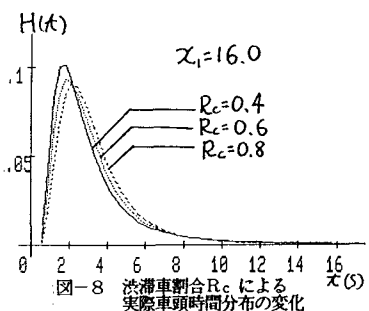


図-7 車頭時間の累積分布における車頭時間分布モデルと観測値との比較

図-8 渋滞車割合 R_c による実際車頭時間分布 $X(t)$ の変化

なお本研究に当たっては、河野雅也氏の助力があった。記して謝意を表す次第である。

参考文献

- 1) 越巖崎: 渋滞時の交通現象に関する研究、土木学会論文報告集NO330, 1983.
- 2) 横木・田村: 道路交通量の変動を考慮した実際車頭時間分布モデルに関する研究、土木学会論文報告集NO343, 1984.